

## اثر غلظت‌های مختلف سولفات منگنز بر روی برخی صفات فیزیولوژیکی در گیاه آفتابگردان

سونیا ترابی<sup>\*</sup>، رمضانعلی خاوری‌نژاد<sup>۲</sup> و فرزانه نجفی<sup>۳</sup>

<sup>۱</sup>کارشناس ارشد، گروه زیست‌شناسی، دانشگاه خوارزمی، تهران

<sup>۲</sup>استاد، گروه زیست‌شناسی، دانشگاه خوارزمی، تهران

<sup>۳</sup>استادیار گروه زیست‌شناسی، دانشگاه خوارزمی، تهران

تاریخ پذیرش: ۹۲/۹/۱ تاریخ دریافت: ۹۲/۶/۲

### چکیده

در این پژوهش تاثیر غلظت‌های مختلف سولفات منگنز بر روی برخی پارامترهای فیزیولوژیکی در گیاه آفتابگردان بررسی گردید. پس از کشت بذرها در پتری دیش، گیاهک‌های ۵ روزه به گلدان‌های با بستر شنی مرتبط شده با محلول غذایی هولکنند در شرایط کنترل شده (۱۶ ساعت روشناختی و ۸ ساعت تاریکی، دمای ۲۵ درجه سانتی‌گراد در روز و ۱۸ درجه سانتی‌گراد در شب) انتقال یافته‌اند. گیاهان ۲۰ روزه تحت تیمارهای مختلف سولفات منگنز با غلظت‌های ۰، ۳۵۰، ۵۰۰ و ۱۵۰۰ میکرومولار قرار گرفته و پس از ۳۰ روز جهت آنالیزهای بیوشیمیابی و فیزیولوژیکی برداشت شدند. نتایج نشان داد که با افزایش غلظت سولفات منگنز در محیط، تبادلات گازی، رنگیزه‌های فتوستتری و قندهای محلول کاهش و میزان قند نامحلول افزایش یافت.

**واژگان کلیدی:** آفتابگردان، تبادلات گازی، رنگیزه‌های فتوستتری، سولفات منگنز، قند.

تأمین می‌گردد (Prasad, 2007). دو مصرف اصلی دانه آفتابگردان به صورت روغن‌گیری و مصرف آجیلی است. انواع آجیلی دانه درشت‌تری نسبت به انواع روغنی داشته و حدود ۲۰ تا ۲۵ درصد روغن دارد. میزان پروتئین دانه در آفتابگردان حدود ۱۷ درصد است. ظاهرآ هر چه دوران رسیدگی دانه با هوای خنک‌تری روبرو گردد بر درصد اسید چرب اشباع نشده لینولئیک در روغن اضافه می‌شود و بر ارزش غذایی آن افزوده می‌گردد (Robbelen et al., 1989).

ساقه آفتابگردان فیر زیادی داشته و در صنعت کاغذ سازی و تهیه سلولز مصرف دارد. ساقه از نظر ازت، کلسیم و پتاسیم نیز غنی است و اضافه کردن آن به خاک موجب افزایش ماده آلی و حاصلخیزی خاک

### مقدمه

گل آفتاب گردان، گل آفتاب یا گل آذریون، گیاهی است از خانواده گل‌ستاره‌ای‌ها (Asteraceae) از جنس آفتاب‌گردنها (Helianthus)، با نام علمی *Helianthus annuus* است. گیاهی است یکساله و شامل ۷۶ گونه می‌باشد و به صورت بوته‌ای استوار رشد می‌کند. طول دوره رشد آفتابگردان بسته به رقم و کلیه عوامل محیطی از ۹۰ تا ۱۵۰ روز می‌باشد. حداقل حرارت لازم برای جوانه‌زن بذر آفتابگردان حدود ۸ تا ۱۰ درجه سانتی‌گراد در خاک است. معمولاً این حرارت‌ها در خاک با رسیدن میانگین شبانه‌روزی حرارت‌ها به ۱۰ تا ۱۵ درجه سانتی‌گراد

\*نویسنده مسئول: saina\_1388@yahoo.com

کاهش دهد که این مسئله با میزان تبادل گازی  $\text{CO}_2$  مرتبط می‌باشد. تأثیر منگنز بر هدایت روزنای به طور غیرمستقیم از طریق مداخله با پتسایم روی می‌دهد که تنظیم‌کننده مهم عملکرد روزنای است (Christeller and Laing, 1979). افزایش سریع فعالیت پلی‌فنل اکسیداز و کاهش در میزان فتوستتر، با افزایش منگنز به خوبی در گیاه تباکو مشاهده شده است (Nable, 1988; Sinha et al., 2002; Subrahmanyam and Rathore, 2000).

گیاه آفتابگردان مقادیر بالایی از منگنز را در ریشه و ساقه خود انباسته می‌کند. به نظر می‌رسد تجمع عناصر سنگین در برگ‌ها نشان‌دهند توانایی ویژه آنها در جذب انتقالی عناصر و ذخیره آنها در بخش‌های مختلف دارند. کلروز در برگ‌های جوان و نقاط قهوه‌ای در برگ‌های پیر در غان سفید در اثر مقادیر بالای منگنز به خوبی دیده شده است. تجمع بالای منگنز در برگ‌ها باعث کاهش در میزان فتوستتر می‌شود (Papadakis et al., 2007; Burnell, 1988). بنابراین ظهور نشانه‌های سمتی منگنز به موقعیت فیزیولوژیکی مرتبط به سن برگ، توزیع و غلظت منگنز در داخل برگ مربوط است (Markus et al., 2002; Burke et al., 1990). مهار سترنر کلروفیل به وسیله منگنز اضافی به علت کمبود آهن است که با تجمع پروتپورفیرین مینیزیم و مونو-۴-متیل استر آن همراه است (Cstorday et al., 1999). شایان ذکر است که سترنر کلروفیل در مرحله بعدی جایگزینی مینیزیم در حلقه تترایپرول به آهن نیاز دارد. سمتی منگنز در خاک‌های کشاورزی و زیستگاه‌های طبیعی به دلایل مختلف از جمله ماهیت سنگ بستر، اسیدی بودن خاک، غرقاب شدن و یا مجاورت با معادن فعال ایجاد می‌شود (Cstorday et al., 1999). با توجه به مطالعه فوق این پژوهش با هدف مطالعه تأثیر غلظت‌های مسموم کننده سولفات منگنز بر روی

می‌گردد (Killi and Altunbay, 2005). اثر افزایشی سمتی منگنز در گیاهان، به صورت نشانه‌های واضحی دیده می‌شود به طور مثال می‌توان به کلروز برگ، نکروز برگ، تغییر مورفولوژی برگی، بیرنگ شدن ریشه‌ها و کاهش محصول همراه اشاره کرد. نشانه‌های سمتی منگنز برای اولین بار در برگ می‌تواند ظاهر شود و برای بسیاری از گونه‌ها مانند جو، نخود فرنگی، آفتابگردان و لویبا اولین نشانه‌های منگنز، ایجاد نقاط قهوه‌ای تیره روی برگ‌های پیر است (Lebot et al., 1990; Demirevska et al., 2004). افزایش منگنز، منجر به مهار سترنر کلروفیل می‌شود. به طور کلی، سمتی منگنز و تعداد دیگری از عناصر سنگین موجب کمبود آهن و کلروز می‌شوند. احتمالاً در سترنر کلروفیل،  $\text{Mn}^{2+}$  جایگزین  $\text{Mg}^{2+}$  در داخل تترایپرول حلقوی می‌شود و به این خاطر سترنر کلروفیل را مختلط می‌کند (Papadakis and Burnell, 1988; et al., 2007). تأثیر منگنز بر میزان فتوستتر، غلظت کلروفیل، فعالیت رویسکو (ریبولوز بیس فسفات کربوکسیلاز / اکسیژنаз) و ثبت  $\text{CO}_2$  ثابت شده است. فلزات سنگین بر روی عملکرد PSI و PSII نیز تأثیر می‌گذارند (Clarimont et al., 1986; Csatorday et al., 1984; El-Jaoual and Cox, 1998). دلایل کاهش فتوستتر توسط غلظت مازاد منگنز برگی عبارتند از توقف فعالیت آنزیم‌های کلروپلاستی توسط افزایش غلظت تولیدات اکسیداسیون پلی‌فنل ناشی از فعالیت پلی‌فنل اکسیداز، اختلال در غشاهای کلروپلاستی به طور مستقیم یا غیرمستقیم، جایگزینی با  $\text{Mg}^{2+}$  و تشکیل کمپلکس‌های رویسکو با  $\text{Mn}^{2+}$  (Pospisilova, 2003). اثرات مخرب فلزات بر دستگاه فتوستتری، اغلب تیجه مداخله رقابتی با کوفاکتورهای فلزی ضروری است. منگنز با جذب آهن رقابت می‌کند و آهن در انتقال الکترون فتوستتری نقش مهمی دارد. منگنز اضافی ممکن است هدایت روزنای را

(IRGA) یا ایرگا (Infrared gas( $\text{CO}_2$ ) analyzer) استفاده شد.  $\text{CO}_2$  ورودی سیستم از جریان هوای آزاد تامین شد و غلظت آن ۳۵۰ میکرولیتر در لیتر ( $\text{CO}_2$ ) هوای جاری منظور گردید. هنگام انجام فتوسترنز بخشی از  $\text{CO}_2$  محفظه توسط گیاه جذب شده و رفته رفته مقدار آن کاهش یافت تا این که این روند کاهشی به حالت یکنواخت رسید، این غلظت  $\text{CO}_2$  به عنوان میزان  $\text{CO}_2$  لازم برای فتوسترنز در نظر گرفته شد و از طریق آن شدت فتوسترنز روزی فرمولی مشابه با فرمول تنفس محاسبه گردید (Khavari-Nejad, 1980).

سنجهش شدت تنفس در تاریکی: جهت سنجش تنفس در تاریکی نیز از دستگاه ایرگا (IRGA) استفاده گردید. پس از استقرار اندام هوایی مورد نظر در محفظه برگی به وسیله یک پارچه ضخیم و تیره رنگ از رسیدن نور به محفظه ممانعت به عمل آمد. در این هنگام گیاه به دلیل عدم انجام فتوسترنز و انجام عمل تنفس موجب افزایش  $\text{CO}_2$  محفظه شد. بعد از مدتی که غلظت  $\text{CO}_2$  به حالت یکنواخت رسید، شدت تنفس از روی آن محاسبه شد. مقادیر فتوسترنز و تنفس از روی فرمول زیر محاسبه و بر حسب  $\text{CO}_2$  جذب شده در فتوسترنز یا آزاد شده در تنفس معرفی شدند (Khavari-Nejad, 1980).

$$Pv = \frac{F \times Dc}{L} (\mu\text{m}(\text{CO}_2)\text{s}^{-1}\text{m}^{-2})$$

$Pv$ : شدت فتوسترنز یا تنفس بر حسب میکرومول  $\text{CO}_2$  بر واحد سطح برگ در واحد زمان می‌باشد.  $Dc$ : تفاضل غلظت  $\text{CO}_2$  بین هوای جاری وارد شده و هوای جاری خارج شده بر حسب میکرولیتر در لیتر ( $\mu\text{l l}^{-1}$ ) می‌باشد.  $F$ : شدت هوای وارد شونده به محفظه برگی که بر حسب  $\text{m}^3 \text{s}^{-1}$  بیان می‌شود و مقدار عددی آن برابر با  $10^{-6} \text{ m}^3 \text{s}^{-1} \times 1.66 \times 10^6$  می‌باشد.

برخی پارامترهای فیزیولوژیکی در گیاه آفتتابگردان انجام شد.

## مواد و روش‌ها

روش کاشت و نگهداری گیاه: بذرهای گیاه *Helianthus annuus* L.، واریته رکورد (cv. Record) از موسسه بذر و نهال کرج تهیه شد. تعداد ۱۰۰۰ عدد بذر یکنواخت و همگن انتخاب گشتند و برای جلوگیری از آلودگی قارچی توسط هیپوکلریت ۴ درصد به مدت ۱۰ دقیقه ضدغذنی شدند. سپس بذرها چندین بار با آب مقطر شستشو داده شدند. پس از این مرحله بذرها در درون پتروی دیش‌های سترون حاوی یک لایه کاغذ صافی مرتبط قرار داده شدند. سپس پتروی دیش با ورق آلومینیومی پوشانده شدند. بعد از ۲ روز بذرها جوانه زدند. اساس جوانه‌زنی آن‌ها خروج ریشه‌چه بود. سپس پتروی دیش‌ها به نور منتقل شدند. بعد از این مرحله دانه رست‌ها شش روزه به گلدان‌های حاوی ماسه مرتبط شده با آب مقطر منتقل شدند. در کف گلدان‌ها چندین منفذ کوچک وجود داشت تا آب ماسه در حد ظرفیت مزرعه باشد. سپس گلدان‌ها به شرایط نوری مناسب انتقال داده و به مدت ۱۴ روز به ترتیب با محلول هوگلندر کامل، - هوگلندر و هوگلندر آبیاری شدند. زمانی که گیاهان ۲۰ روزه شدند تیماردهی آغاز شد. پیش از شروع تیماردهی چهار نمونه گیاه جهت آنالیزهای اولیه انتخاب و به آزمایشگاه انتقال یافتند. گیاهان تحت تیمار سولفات منگنز ( $\text{MnSO}_4$ ) در چهار سطح (۰، ۲۵۰، ۳۵۰ و ۱۵۰۰ میکرومولار) قرار گرفتند.

سنجهش شدت فتوسترنز: جهت سنجش فتوسترنز اندام هوایی هر گیاه جدا و به طور کامل درون محفظه شیشه‌ای قرار گرفت. روشنایی لازم برای فتوسترنز توسط سه چراغ مطالعه فراهم شد. برای سنجش فتوسترنز از دستگاه آنالیزور گازی ( $\text{CO}_2$ ) فروسرخ

در روابط فوق  $A_{646.8}$  و  $A_{663.2}$  به ترتیب میزان جذب در طول موج‌های  $646/8$  و  $663/2$  می‌باشد. با توجه به حجم عصاره و وزن تر نمونه‌ها، غلظت کلروفیل بر حسب میلی‌گرم بر گرم وزن تر ( $\text{mg g}^{-1}$ ) قابل محاسبه است.

**سنجدش کاروتوئیدها:** برای سنجش مقدار کاروتوئیدها با در نظر گرفتن میزان جذب نمونه‌ها در طول موج  $470$  نانومتر از رابطه زیر محاسبه شد (Lichtenthaler, 1987).

$$\text{Car} = (1000A_{470} - 1.8 \text{ Chla} - 85.02 \text{ Chlb})/198$$

در رابطه فوق:  
کاروتون: Car

میزان جذب در طول موج  $470$  نانومتر می‌باشد و  $\text{Chl.b}$  و  $\text{Chl.a}$ : به ترتیب بیانگر مقدار کلروفیل‌های  $a$  و  $b$  می‌باشند. غلظت نهایی کاروتوئیدها نیز مانند کلروفیل‌ها با توجه به حجم عصاره و وزن نمونه‌ها بر اساس واحد میلی‌گرم بر گرم وزن تر ( $\text{mg g}^{-1}$ ) F.W. (mg) بیان شد.

**سنجدش کربوهیدرات‌ها:** برای سنجش قندهای محلول و نشاسته،  $0/1$  گرم ماده خشک گیاهی (اندام هوایی) به دقت توزین شده و پس از همگن شدن با  $10$  میلی‌لیتر اتانول  $80$  درصد، به لوله آزمایش درسته انتقال یافته. سپس در حمام آب گرم  $60$  درجه سانتی‌گراد، به مدت  $10$  دقیقه حرارت داده شدند. پس از خارج کردن لوله آزمایش درسته و سرد شدن آنها، محتويات آنها با کاغذ صافی و اتمن شماره دو و قیف شیشه‌ای صاف گردیدند. ته بالان و روی قیف چندین بار با آب مقطر شسته و از صافی عبور داده شد. کاغذ صافی را که محتوى تفاله‌ها بود از روی قیف برداشته و در آون با حرارت  $70$  درجه سانتی‌گراد قرار داده تا کاملاً رطوبت خود را از دست بدهد.

**سنجدش قندهای محلول:** محلول صاف شده که حاوی قندهای محلول در اتانول بود درون

d: چگالی  $\text{CO}_2$  خالص برابر با  $44/63$  می‌باشد.  
L: سطح برگی که بر حسب واحد  $\text{m}^2$  بیان می‌شود.  
**محاسبه نقطه جبران  $\text{CO}_2$ :** برای محاسبه نقطه جبران  $\text{CO}_2$  فتوستزی از سیستم جريان گازی بسته استفاده شد. پس از استقرار گیاه در دستگاه جريان هوا از محفظه دارای گیاه به درون دستگاه ایرگا پمپ شده (توسط دستگاه ثبات غلظت استقرار  $\text{CO}_2$  به طور مرتب ثبت شده) و دوباره به محفظه برگشت داده شد. با ادامه فتوستز توسط گیاه، غلظت  $\text{CO}_2$  محفظه به تدریج کاهش یافته و لحظه‌ای فرا رسید که غلظت  $\text{CO}_2$  دیگر هیچ کاهشی را نشان نداد و به یک حالت پایدار رسید. این غلظت  $\text{CO}_2$  به عنوان نقطه جبران  $\text{CO}_2$  بر حسب میکرولیتر در لیتر ( $\mu\text{l l}^{-1}$ ) در نظر گرفته شد (Khavari-Nejad, 1980).

**سنجدش رنگیزه‌های فتوستزی**  
**سنجدش کلروفیل‌ها:** قطعاتی از برگ‌های جوان هم سن انتخاب شدند و پس از توزین و تکه‌تکه شدن با کمک استن  $80$  درصد در داخل هاون چینی به صورت هموژن در آمدند. سپس هموژن تهیه شده با کاغذ صافی و اتمن شماره دو صاف شد. هاون قیف و باقیمانده مواد گیاهی روی کاغذ صافی دوباره با استن  $80$  درصد شسته شده و حجم نهایی محلول صاف شده یادداشت شد. در نهایت با استفاده از دستگاه اسپکتروفتومر، جذب محلول در طول موج‌های  $663/2$ ،  $646/8$  و  $470$  نانومتر اندازه‌گیری شد و از استن  $80$  درصد به عنوان محلول شاهد برای تنظیم صفر جذب نوری اسپکتروفتومر استفاده شد. برای انجام محاسبات مربوط به تعیین میزان کلروفیل  $a$ ، کلروفیل  $b$  و کلروفیل کل ( $a+b$ ) بر حسب میلی‌گرم بر لیتر به ترتیب از روابط زیر استفاده شد (Lichtenthaler, 1987)

$$\text{Chla} = 12.25 A_{663.2} - 2.79 A_{646.8}$$

$$\text{Chlb} = 21.21 A_{646.8} - 5.1 A_{663.2}$$

$$\text{Total Chl} = \text{Chla} + \text{Chlb}$$

این مدت محتویات ارلن را با کاغذ صافی صاف کرده و تفاله‌های روی کاغذ صافی به ارلن برگردانده شد و دوباره با ۴۰ میلی‌لیتر آب مقطر و به مدت ۱۰ دقیقه جوشانده و صاف شد. محلول صاف شده را با آب مقطر به حجم ۱۰۰ میلی‌لیتر رسانده و از آن برای سنجش قندهای نامحلول استفاده شد.

برای سنجش قندهای نامحلول از روش فنل سولفوریک اسید استفاده شد. ۰/۵ میلی‌لیتر از هر یک از عصاره‌های مربوطه را درون لوله آزمایش ریخته و حجم لوله‌ها را با آب مقطر به ۲ میلی‌لیتر رسانده و به هر لوله یک میلی‌لیتر فنل ۵ درصد افزوده و به خوبی تکان داده شد. سپس به هر لوله ۵ میلی‌لیتر اسید سولفوریک غلیظ اضافه شد. به علت حرارت زیادی که در نتیجه انجام واکنش ایجاد می‌شود این عمل درون بشر محتوى آب انجام شد. در نهایت جذب محلول‌ها پس از سرد شدن در طول موج ۴۸۵ نانومتر توسط دستگاه اسپکتروفوتومتر اندازه‌گیری شد. مقادیر نمونه‌ها با استفاده از منحنی استاندارد براساس میلی‌گرم بر گرم وزن خشک (mg D.W g<sup>-1</sup>) محاسبه شدند. جهت رسم نمودار استاندارد با استفاده از گلوکز محلول‌هایی با غلظت‌های مشخص از صفر تا ۳۵ میلی‌گرم در لیتر تهیه شد و مطابق روش بالافنل و اسید سولفوریک به آن‌ها اضافه گردید. برای هر غلظت گلوکز، جذب در طول موج ۴۸۵ نانومتر بدست آمدو براساس آن منحنی مربوط ترسیم شد (Hellbus and Crarigi, 1978).

بررسی‌های آماری بر اساس آنالیز واریانس دو عاملی توسط نرم‌افزار 17 SPSS و نرم‌افزار 9 SAS در سطح احتمال ۰/۰۵ P انجام شد. رسم نمودارها با استفاده از نرم‌افزار Excel انجام پذیرفت.

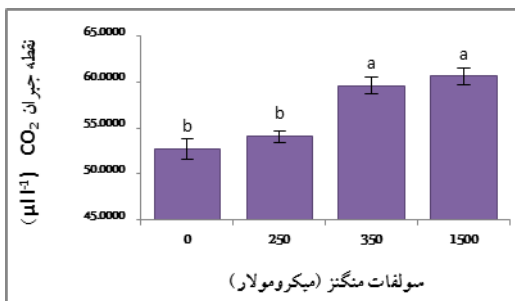
پتريديش‌ها ریخته تا اتانول آنها تبخیر شود. سپس به باقيمانده آب مقطر اضافه شد و محلول‌های حاصل به درون لوله آزمایش در بسته منتقل شدند. برای جدا کردن رنگيزيه‌ها، به هر نمونه ۵ میلی‌لیتر هيدروكسيد باريوم ۰/۳ نرمال و ۵ ميلی‌لیتر سولفات روی ۵ درصد اضافه شد. مخلوط فوق در سرعت ۵ ۳۰۰۰ به مدت ۱۵ دقیقه سانتريفيوژ گردید. سپس بخش روبي به يك بالن ژوژه ۱۰۰ ميلی‌لیتری انتقال یافت و حجم آن با آب مقطر به ۱۰۰ ميلی‌لیتر رسانده شد. سپس يك ميلی‌لیتر از عصاره در لوله آزمایش ریخته و به آن يك ميلی‌لیتر محلول کوئيدروسدیک اضافه و به خوبی تکان داده شد و به مدت ۱۰ دقیقه در حمام آب جوش قرار داده شد. سپس لوله‌ها را سرد کرده تا به دمای اتاق برسند. به هر لوله يك ميلی‌لیتر محلول آرسنومولیدات اضافه کرده و حجم آن‌ها به وسیله آب مقطر به ۱۲/۵ ميلی‌لیتر رسانيده و به خوبی تکان داده شد تا يکنواخت شود. در نهایت جذب هر يك از نمونه‌ها در طول موج ۵۰۰ نانومتر خوانده شد.

ميزان قندهای احياء شونده نمونه‌ها با استفاده از نمودار استاندارد گلوکز بر اساس ميلی‌گرم بر گرم وزن خشک (mg D.W g<sup>-1</sup>) محاسبه شدند. جهت رسم نمودار استاندارد با استفاده از گلوکز محلول‌هایی با غلظت‌های مشخص از صفر تا يك ميلی‌لیتر برداشته و حجم آنها با آب مقطر به دو ميلی‌لیتر رسانيده شد و مطابق روش بالا به آن‌ها کوئيدروسدیک و آرسنومولیدات اضافه گردید. برای هر غلظت گلوکز، جذب در طول موج ۵۰۰ نانومتر بدست آمد (Somogyi, 1952; Krishnaveni et al., 1984).

**سنجش قندهای نامحلول :** تفاله‌های خشک شده حاصل از عصاره‌گیری الكل درون بالن ریخته و به آن حدود ۴۰ ميلی‌لیتر آب مقطر اضافه شد سپس به مدت ۱۰ دقیقه درون حمام آب گرم قرار داده شد. پس از

## نتایج

**نقطه جبران  $\text{CO}_2$ :** نتایج حاصل از بررسی‌ها بر روی نقطه جبران  $\text{CO}_2$  در گیاه آفتابگردان نشان داد که کاربرد سولفات منگنز موجب افزایش نقطه جبران  $\text{CO}_2$  در این گیاه شد ولی با افزایش غلظت سولفات منگنز تا غلظت ۲۵۰ میکرومولار میزان نقطه جبران  $\text{CO}_2$  در مقایسه با شاهد تغییر زیادی نکرد و در غلظت‌های ۳۵۰ و ۱۵۰۰ میکرومولار منگنز نیز نقطه جبران  $\text{CO}_2$  تا حدودی ثابت ماند. از لحاظ آماری نیز مشاهده شد که افزایش نقطه جبران  $\text{CO}_2$  در همه تیمارها در مقایسه با شاهد اختلاف معنی‌دار داشت (شکل ۳).

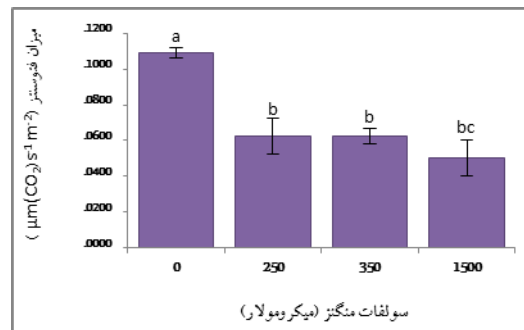


شکل ۳: اثر غلظت‌های مختلف سولفات منگنز بر میزان نقطه جبران  $\text{CO}_2$  برحسب میکرولیتر در لیتر ( $\text{l}^{-1}$ ) در گیاه آفتابگردان. داده‌ها  $\bar{X} \pm \text{SE}$  با چهار تکرار را نشان می‌دهد. حروف یکسان نشان‌دهنده عدم تفاوت معنی‌دار است.

**میزان کلروفیل *a*:** مشاهده شد که با افزایش غلظت سولفات منگنز به محیط میزان کلروفیل *a* روند کاهشی پیدا کرد به طوری که میزان آن از  $1/4$  به  $1/4$  (mg.g<sup>-1</sup>fw)<sup>۰/۴</sup> کاهش یافت که یک کاهش تقریباً  $۳/۵$  برابری را نشان می‌دهد که این میزان کاهش قابل توجه است. از لحاظ آماری نیز در همه تیمارها در مقایسه با شاهد اختلاف معنی‌دار بود (جدول ۱).

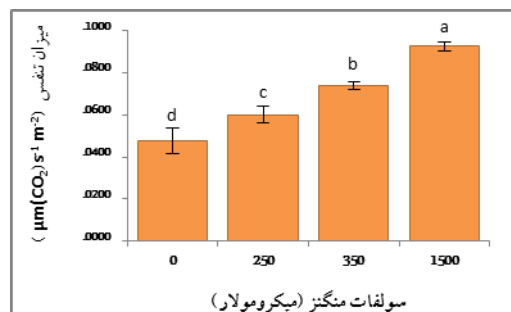
**میزان کلروفیل *b*:** نتایج نشان داد که با افزایش سولفات منگنز به محیط میزان کلروفیل *b* روند کاهشی پیدا کرد. به طوری که در غلظت‌های ۲۵۰ و ۳۵۰ میکرومولار سولفات منگنز در مقایسه با

میزان فتوسترز: نتایج حاصل از بررسی‌های نشان داد که سولفات منگنز باعث کاهش میزان فتوسترز می‌شوند. از لحاظ آماری نیز کاهش میزان فتوسترز در همه تیمارها در مقایسه با شاهد اختلاف معنی‌دار بود (شکل ۱).



شکل ۱: اثر غلظت‌های مختلف سولفات منگنز بر میزان فتوسترز ( $\mu\text{m}(\text{CO}_2)\text{s}^{-1}\text{m}^{-2}$ ) در گیاه آفتابگردان. داده‌ها  $\bar{X} \pm \text{SE}$  با چهار تکرار را نشان می‌دهد. حروف یکسان نشان‌دهنده عدم تفاوت معنی‌دار است.

**میزان تنفس:** نتایج نشان داد میزان تنفس در گیاه آفتابگردان با افزودن سولفات منگنز به محیط باعث افزایش تنفس شد و این افزایش تنفس با افزودن غلظت سولفات منگنز تشدید شده از لحاظ آماری نیز در همه تیمارها در مقایسه با شاهد اختلاف معنی‌دار بود (شکل ۲).



شکل ۲: اثر غلظت‌های مختلف سولفات منگنز بر میزان میزان تنفس ( $\mu\text{m}(\text{CO}_2)\text{s}^{-1}\text{m}^{-2}$ ) در گیاه آفتابگردان. داده‌ها  $\bar{X} \pm \text{SE}$  با چهار تکرار را نشان می‌دهد. حروف یکسان نشان‌دهنده عدم تفاوت معنی‌دار است.

amarی نیز همه تیمارها در مقایسه با شاهد دارای اختلاف معنی دار بود (جدول ۱).

میزان کاروتینوئیدها: بررسی‌های انجام شده بر روی میزان کاروتینوئید نشان داد که افزایش غلظت سولفات منگنز به محیط موجب کاهش محتوای کاروتینوئید شد. از لحاظ آماری نیز در همه تیمارها در مقایسه با شاهد اختلاف معنی دار بود. مطالعات انجام شده نشان می‌دهد که با افزایش میزان غلظت سولفات منگنز، محتوای کلروفیل‌های *a*, *b*, *a+b* و کاروتینوئیدها کاهش یافت (جدول ۱).

شاهد تقریباً ۳ برابر کاهش پیدا کرده و در غلظت ۱۵۰۰ میکرومولار در مقایسه با شاهد تقریباً ۹ برابر

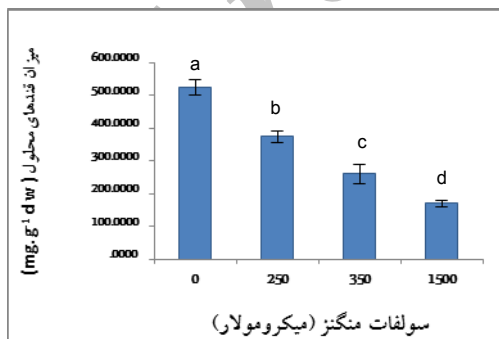
میزان کلروفیل *b* کاهش یافت که این میزان قابل توجه بود. از لحاظ آماری نیز همه تیمارها در مقایسه با شاهد اختلاف معنی دار نشان داد (جدول ۱).

**میزان کلروفیل کل:** نتایج مربوط به میزان کلروفیل کل نیز در گیاه آفتابگردان نشان داد که سولفات منگنز، میزان کلروفیل کل را کاهش داد. افزودن تنها سولفات منگنز به محیط نیز در غلظت‌های مختلف مقدار کلروفیل کل را از  $3/5$  به  $0/5$  ( $\text{mg.g}^{-1}\text{fw}$ ) کاهش داد که این کاهش قابل توجه بود. از لحاظ

جدول ۱: محتوای کلروفیل *a* (chl.*a*), محتوای کلروفیل *b* (chl.*b*), محتوای کلروفیل کل (chl.*a+b*) و محتوای کاروتینوئید ( $\text{mg.g}^{-1}\text{fw}$ ) در تیمارهای مختلف سولفات منگنز در گیاه آفتابگردان. داده‌ها  $\bar{X} \pm \text{SE}$  با چهار تکرار را نشان می‌دهند. حروف یکسان نشان‌دهنده عدم تفاوت معنی دار است.

غلظت منگنز ( $\mu\text{m}$ )	محتوای chl. <i>a</i> ( $\text{mg.g}^{-1}\text{fw}$ )	محتوای chl. <i>b</i> ( $\text{mg.g}^{-1}\text{fw}$ )	محتوای کلروفیل کل ( $\text{mg.g}^{-1}\text{fw}$ )	محتوای کاروتینوئید ( $\text{mg.g}^{-1}\text{fw}$ )
۰	$1/475 \pm 0/1081^{\text{a}}$	$1/835 \pm 0/0585^{\text{a}}$	$3/307 \pm 0/1486^{\text{a}}$	$2/465 \pm 0/007^{\text{a}}$
۲۵۰	$0/637 \pm 0/0175^{\text{c}}$	$0/575 \pm 0/0076^{\text{d}}$	$1/212 \pm 0/0239^{\text{d}}$	$2/320 \pm 0/010^{\text{ab}}$
۳۵۰	$0/620 \pm 0/0091^{\text{cd}}$	$0/522 \pm 0/0047^{\text{e}}$	$1/150 \pm 0/0108^{\text{de}}$	$2/160 \pm 0/004^{\text{bc}}$
۱۵۰۰	$0/350 \pm 0/0040^{\text{efg}}$	$0/310 \pm 0/0040^{\text{h}}$	$0/660 \pm 0/0070^{\text{i}}$	$1/962 \pm 0/008^{\text{cd}}$

همه تیمارها در مقایسه با شاهد اختلاف معنی دار مشاهده شد (شکل ۵).



شکل ۴: اثر غلظت‌های مختلف سولفات منگنز (میکرومولار) بر میزان قندهای محلول (میلی‌گرم بر گرم وزن‌تر) در گیاه آفتابگردان. داده‌ها  $\bar{X} \pm \text{SE}$  چهار تکرار را نشان می‌دهند. حروف یکسان نشان‌دهنده عدم تفاوت معنی دار است.

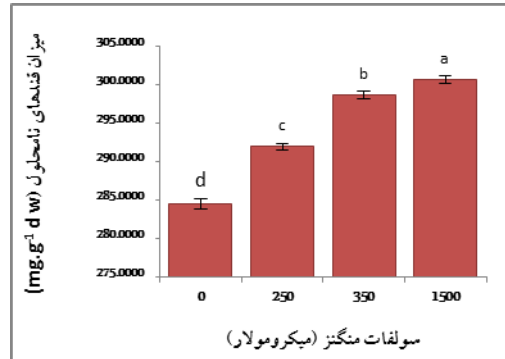
میزان قندهای محلول در گیاه: با توجه به نتایج بدست آمده مشاهده شد که افزایش غلظت سولفات منگنز و به محیط کشت گیاه آفتابگردان موجب کاهش میزان قندهای محلول شده به طوری که میزان آن از ۴۵۵ به ۳۵۰ ( $\text{mg.g}^{-1}\text{dw}$ ) کاهش یافت. از لحاظ آماری نیز میزان قند محلول در همه تیمارها در مقایسه با شاهد اختلاف معنی دار را نشان داد (شکل ۴).

میزان قندها در گیاه: با توجه به نمودارها و جدول‌های مربوط به میزان قندهای نامحلول مشاهده می‌شود که با افزایش میزان سولفات منگنز به محیط میزان قند نامحلول در گیاه از ۲۸۵ به ۳۰۸ ( $\text{mg.g}^{-1}\text{dw}$ ) افزایش یافت و از لحاظ آماری نیز در

کاهش می‌یابد (Lei et al., 2007). آزمایشات بر روی کلروپلاست گیاه گندم نشان داده که کاهش در فتوستتر توسط افزایش منگنز برگی در نتیجه عملکرد پراکسیداسیون غشای تیلاکوئیدها می‌باشد (Poorter et al., 1988).

با توجه به مشاهدات Hertz (۱۹۸۸) اختلال در سیستم فتوستتری توسط غلظت مازاد منگنز برگی عبارتند از: مختل شدن هدایت روزانه‌ای، اختلال در غشاهای کلروپلاستی به طور مستقیم و غیرمستقیم، اختلال در عملکردهای PSII و PSI، جایگزین شدن  $Mn^{2+}$  به جای  $Mg^{2+}$  و تشکیل کمپلکس رویسکو- $Mn^{2+}$ . در کارهای انجام شده مشاهده شده که با کاهش میزان فتوستتر، میزان تنفس و نقطه جبران  $CO_2$  در تیمارهای ۳۵۰ و ۱۵۰۰ میکرومولار منگنز، افزایش زیادی پیدا می‌کند. در آزمایشات انجام شده توسط Hertz (۱۹۸۸)، بر روی گیاه تنباقو بر اثر تیمار با غلظت بالای منگنز مشاهده شد که میزان فعالیت ریبولوز ۱ و ۵ بیس فسفات اکسیژنаз افزایش می‌یابد که موجب افزایش نقطه جبران  $CO_2$  در این گیاه می‌شود. افزایش سمیت منگنز سبب شد که  $Mn^{2+}$  جایگزین  $Mg^{2+}$  در رویسکو گردد (Zerbe and Wild, 1980). مطابق کارهای انجام شده بر روی تأثیر سمیت منگنز بر ستر کلروفیل در گیاه *Nicotiana tabacum* شان داده شد که ستر کلروفیل و کاروتونوئید با افزایش منگنز و سمیت آن کاهش پیدا کرده است (Khavari-Nejad et al., 2005; Ohki, 1985; Claramont et al., 1986).

گزارش شده است در ستر کلروفیل، منگنز جایگزین منیزیم در جایگاه خود یعنی در داخل تراپیرون حلقوی می‌شود و به این دلیل ستر کلروفیل را مختل می‌کند. با افزایش  $Mn$  میزان پروتوبورفیرین IX در مسیر ستر کلروفیل نسبت به میزان  $Mg$ -پروتوبورفیرین منومتیل استر افزایش می‌یابد که در حقیقت این پیش برنده ستر



شکل ۵: اثر غلظت‌های مختلف سولفات منگنز (میکرومولار) بر میزان قند نامحلول (میلی‌گرم بر گرم وزن تر) در گیاه آفتابگردان. داده‌ها  $\bar{X} \pm SE$  با چهار تکرار را نشان می‌دهد. حروف یکسان نشان‌دهنده عدم تفاوت معنی‌دار است.

## بحث

عناصر سنگین موجب کاهش میزان فتوستتر در گیاهان می‌شوند. در تحقیق حاضر بر روی گیاه آفتابگردان نیز مشاهده شد که با افزایش غلظت سولفات منگنز در تیمارهای ۲۵۰، ۳۵۰ و ۱۵۰۰ میکرومولار، در محیط کشت این گیاه اثر سوء بر میزان فتوستتر می‌گذارد. مطالعات انجام شده نشان داد که تیمار گیاه تنباقو با سولفات منگنز نیز میزان فتوستتر را کاهش داده است که به نظر می‌رسد افزایش فعالیت رویسکو در جهت فعالیت اکسیژنازی و عدم فعالیت تعدادی از آنزیم‌های احیاء کننده سیکل کربنی فتوستتری (سیکل کالوین) علت این اثر باشد (Nable, 1988). گزارش شده است فعالیت آنزیم رویسکو در گیاه گندم تیمار یافته با منگنز تغییر نمی‌یابد ولی فعالیت واکنش هیل کاهش می‌یابد. در این راستا مشاهده شد که سمیت منگنز، فعالیت هیل در کلروپلاست‌های جدا شده از برگ‌های گیاه (Lee et al., 1976) ولی سمیت منگنز روی راندمان کوانتموئی فتوسیستم II در ذرت مقاوم به سمیت منگنز تأثیر ندارد اما این میزان در ذرت حساس به غلظت بالای منگنز

کاهش می‌یابد. در کار حاضر نشان داده شد که یک رابطه مثبت میان فتوستز و قندهای محلول وجود دارد و قندهای محلول به سرعت در گیاه با کاهش فتوستز، کاهش می‌یابد ولی تحت تنش عناصر سنگین اثر مهار کننده‌ای بر روی برخی از آنزیم‌ها از جمله آمیلاز می‌گذارد که موجب تجمع نشاسته گشته و از این طریق موجب مهار فیدبکی بر روی فتوستز می‌گردد که موجب افزایش تنفس شده و میزان قندهای محلول کاهش می‌یابد (Nafziger and Koller, 1976). حضور منگنز در سیتوزول سلول‌های برگ باعث افزایش فعالیت آنزیم‌های تجزیه کننده قندهای محلول و آنزیم ساکاروز استاز می‌شود. در ریشه به علت مصرف شدن قند در جهت ستز پروتئین‌ها و پلی‌پپتیدها از جمله فیتوکلاتین‌ها و گلوتاتیون غلظت قند کاهش می‌یابد (Lidon and Citrus volkameriana). تیمار گیاه (Teixeira, 2002 L. با منگنز، موجب کاهش گرانل‌ها در کلروفیل برگی شده و تعداد دانه‌های نشاسته را افزایش می‌دهد. همچنین سمیت منگنز موجب کاهش قندهای محلول و افزایش نشاسته در این گیاه شد (Papadakis et al., 2007). افزایش تیمار با منگنز در گیاه برنج نیز موجب افزایش محتوای نشاسته و کاهش محتوای قندهای محلول شد (Lidon and Teixeira, 2000). مطالعات نشان داد که افزایش تیمار با منگنز، قندهای محلول به ویژه هگزوزها و بیان ژن‌های مربوط به آنزیم‌های فتوستزی از جمله زیر واحد کوچک روییسکو که در هسته کد می‌شود را مهار می‌کند و محتوای روییسکو و تثبیت میزان  $\text{CO}_2$  را کاهش می‌دهد (Karatas et al., 2010).

### نتیجه‌گیری نهایی

درکشور ما، بهخصوص استان آذربایجان‌غربی و شرقی، خاک‌های غنی از منگنز و معادن فعال این عنصر وجود دارد که محدوده وسیعی از خاک‌های

کلروفیل است در نتیجه با افزایش منگنز، ستز کلروفیل مختل می‌شود (Claramont et al., 1986). تجمع کاروتینیدها نیز توسط سمیت منگنز مهار می‌شود که این مهار یا به طور مستقیم و یا توسط عدم حضور پیش‌برنده کلروفیل می‌باشد. همچنین گزارش شده است کاهش محتوای کلروفیل تحت تنش عنصر سنگین، مهمترین آنزیم‌ها از جمله  $\delta$ -آمینولولینک دهیدراتاز (ALA-dehydratase) و پروتو کلروفیل‌دوکتاز که مرتبط به بیوستز کلروفیل هستند را مهار می‌کند (Rezai and Farhoodnia, 2008). کاهش محتوای کلروفیل ممکن است به علت تغییر در متابولیسم نیتروژن در گیر در ستز پرولین برای تنظیم اسمزی می‌باشد. افزایش نقطه جبران  $\text{CO}_2$  نسبت به گیاه شاهد و کاهش کلروفیل و ظهور حالت کلروز در اثر تیمار با منگنز دال بر کاهش فتوستز می‌باشد (Kumar et al., 2008; Shenker et al., 2004; Vassilev and Berova, 1998; Rezai and Farhoodnia, 2008). بررسی‌های انجام شده بر میزان فتوستز خالص، نقطه جبران  $\text{CO}_2$  و غلظت قندهای محلول و نشاسته در برگ‌های گیاه لوبيا نشان می‌دهد که یک رابطه معکوس بین میزان فتوستز خالص و غلظت نشاسته وجود دارد. پیشنهاد شده که تجمع نشاسته سبب کاهش میزان فتوستز از طریق منع انتشار  $\text{CO}_2$  درون سلولی در مزوفیل می‌شود. کترل مقدار  $\text{CO}_2$  در دسترس گیاه لوبيا، روی غلظت نشاسته برگی اثر معنی‌دار دارد اما روی غلظت قند محلول تأثیر زیادی ندارد (Nafziger and Koller, 1976). در برگ‌های گیاه گوجه‌فرنگی با افزایش سطح  $\text{CO}_2$ ، غلظت نشاسته افزایش یافته است. به نظر می‌رسد که میزان قندهای محلول با محتوای نشاسته رابطه عکس داد (Lidon and Teixeira, 2002). کاهش در میزان همگون سازی  $\text{CO}_2$ ، از طریق مهار فیدبکی فتوستز، موجب کاهش فتوستز می‌شود و میزان قند محلول

- Hellubust, J.A. and Craigie, J.S. (1978).** Handbook of physiological and biochemical methods, Cambridge University Press, Cambridge.
- Hortz, R. (1988).** Evidence for effects on the *in vivo* activity of Ribulose-bisphosphate carboxylase/oxygenase during development of Mn toxicity in Tobacco. *Plant Physiology*. 86: 1143-1149.
- Karatas, I., Ozturk, L. and Okatan, Y. (2010).** Effect of auxin on photosynthetic pigments and some enzyme activities during dark-induced senescence *Tropaeolum* leaves. Department of Biology, Tokat, Turkey. 42(3):1881-1888.
- Khavari-Nejad, R.A. (1980).** Growth of tomato plants in different oxygen concentrations. *Photosynthetica*. 14: 326-336.
- Khavari-Nejad, R.A., Asrav, Z. and Heidari, H. (2005).** Excess manganese effects on pigments of *Mentha spicata* at flowering stage. *Soil Science*. 51: 101-107.
- Killi, F. and Altunbay, G. (2005).** Seed yield, oil content and yield components of confection and oilseed Sunflower (*Helianthus annuus* L.) cultivars planted in different dates. *Journal of Agriculture and Biology*. 7: 21-24.
- Krishnaveni, S., Theymoli, B. and Sadashivam, S. (1984).** Phenol sulphuric acid method. *Food chain*, 15:229-237.
- Kumar, S., Raju, D. and Hazra, S. (2008).** Differential accumulation of manganese in three mature tree species (*Holoptelia*, *Cassia*, *Neem*) growing on a mine dump. *Current Science*. 94: 639-943.
- Lebot, J., Kirby, E.A. and Beusuchem, M.L. (1990).** Manganese toxicity in tomato plants: effects on cation uptake and distribution. *Journal of Plant Nutrition*. 13: 513-525.
- Lee, K.C., Cunningham, B.A., Poulsen, G.M., Laing, G.H. and Moore, R.A. (1976).** Effect of cadmium on respiration rate and activities of several enzymes in soybean seedlings, *Plant Physiology*. 36: 4-6.
- Lei, Y.B., Korpelainen, H. and Li, C.Y. (2007).** Physiological and biochemical responses to high Mn concentrations in two contrasting *Populus cathayana* populations. *Chemosphere*. 68: 686-694.
- Lichthenthaler, H.K. (1987).** Chlorophylls and carotenoids pigments of photosynthetic bio membranes. In: Colowick, S.P., Kaplan, N.O. (eds) *Methods in Enzymology*. Academic Press, New York. 148: 350- 382.
- Lidon, F.C. and Teixeira, M.G. (2000).** Oxygen radical production and control in the chloroplast of Mn-treated rice. *Plant Science*. 152: 7-15.

مرتعی و زمین‌های زراعی مجاور این معادن تحت تأثیر غلظت‌های مسموم کننده این عنصر قرار می‌گیرد. در این تحقیق مشاهده شد که افزایش غلظت منگنز بر روی گیاه آفتابگردان، موجب کاهش فتوسنتز، افزایش تنفس و نقطه جبران در این گیاه شد. همچنین کاهش میزان کلروفیل، کاروتونوئیدها و قندهای محلول و افزایش قندهای نامحلول و از جمله علائم ظاهری نظری زرد شدن در گیاه آفتابگردان دیده شد، نتیجه نهایی اینکه منگنز در غلظت‌های زیاد موجب سمیت در گیاه شده و آثار جبران‌ناپذیری بر گیاهان دارد.

#### منابع

- Burke, D.G., Watkins, K. and Scott, B.J. (1990).** Manganese toxicity effects on visible symptoms, yield, manganese levels, and organic acid levels in tolerant and sensitive wheat cultivars. *Crop Science*. 30: 275-280.
- Burnell, J.N. (1988).** The biochemistry of manganese in plants. In: Graham, R.D., Hannam, R.J., Uren, N.C. (Eds.), *Manganese in Soils and Plants*. Kluwer, Dordrecht, the Netherlands. 22:125-133.
- Christeller, J.T. and Laing, W.A. (1979).** Effects of manganese ions and magnesium ions on the activity of soya-bean ribulosebis phosphate carboxylase / oxygenase. *Phytochemistry*. 183:747-750.
- Claramont, K., Hagar, W.G. and Davis, E.A. (1986).** Manganese toxicity to chlorophyll synthesis in *Tobacco Callus*. *Plant Physiology*. 80: 291-293.
- Cstorday, K., Gombos, Z. and Zalontai, B. (1999).** Manganese and cobalt toxicity in chlorophyll Biosynthesis. *Journal of Agricultural Science*. 3: 248-251.
- Csatorday, K., Gombos, Z. and Zalontai, B. (1984).**  $Mn^{2+}$  and  $Co^{2+}$  toxicity in chlorophyll biosynthesis, *Proceedings of the National Academy of Sciences of the United States of America*. 81:476-478.
- Demirevska, K., Simova-Stoilova, L. and Stoyanova, Z. (2004).** Biochemical changes in barley plants after excessive supply of copper and manganese. *Environmental and Experimental Botany*. 52: 253-266.
- El-Jaoual, T. and Cox, D.A. (1998).** Manganese toxicity in plants, *Journal of Plant Nutrition*. 21: 353-386.

- Markus, H., Paul, A. Mulack, C., and Fritz, E. (2002).** Effects of manganese on the viability of vegetative diaspores of the epiphytic lichen *Hypogymnia physodes*, Environmental and Experimental Botany. 47: 127-142.
- Nable, R. (1988).** Early inhibition of photosynthesis during development of Mn toxicity in Tobacco. Plant Physiology. 86:1136-1142.
- Nafziger, D.E. and Koller, R. (1976).** Influence of leaf starch concentration on CO<sub>2</sub> assimilation in Soybean. Plant Physiology. 57: 506-563.
- Ohki, K. (1985).** Manganese deficiency and toxicity effects on photo-synthesis, chlorophyll and transpiration in wheat. Crop Science. 25:187-191.
- Papadakis, I.E., Giannakoula, A., Therios, I.N., Bosabalidis, A.M., Moustakas, M. and Nastou, A. (2007).** Mn-induced changes in leaf structure and chloroplast ultrastructure of *Citrus volmariana* L. plants. The Plant Journal.164:100-103.
- Poorter, H., Pot, S. and Lambers, H. (1988).** The effect of an elevated atmospheric CO<sub>2</sub> concentration on growth, photosynthesis and respiration of *Plantago major*. Physiologia Plantarum.73: 553-559.
- Pospisilova, J. (2003).** Anticipation of phytohormones in the stomatal regulation of gas exchange during water stress. Physiologia Plantarum. 46(4): 491-506.
- Prasad, M.N.V. (2007).** Sunflower (*Helianthus annuus* L.) a potential crop for environmental industry. Department of Plant Sciences. 46:167-174.
- Rezai, K. and Farboodnia, T. (2008).** Manganese toxicity effects on chlorophyll content and antioxidant enzymes in Pea Plant (*Pisums ativum* L.cv. Qazvin). Department of Biology. 3(6):454-458.
- Robbelen, G., Keith Downey, P. and Ashri, A. (1989).** Oil crops of the world, their breeding and utilization. Crop Sciences. New York, McGraw-Hill. pp.553.1
- Shenker, M., Plessner, O.E. and Tel-Or, E. (2004).** Manganese nutrition effects on tomato growth, chlorophyll concentration, and superoxide dismutase activity. The Plant Journal. 161: 197-200,
- Sinha, S., Mukherji, S. and Dutta, J. (2002).** Effect of manganese toxicity on pigment content, Hill activity and photosynthetic rate of *Vigna radiata* L. Wilczek seedlings. Journal of Environmental Biology. 23: 253-257.
- Somogyi, M. (1952).** Notes on sugar determination. Journal of Biological Chemistry. 195:19-29.
- Subrahmanyam, D. and Rathore, V.S. (2000).** Influence of manganese toxicity on photosynthesis in rice bean seedlings. Photosynthetica. 38: 425-429.
- Vassilev, A. and Berova, M. (1998).** Influence of Cd<sup>2+</sup> on growth, chlorophyll content, and water relation in young barley plants. Department of Plant Physiology. 41(4): 601-606.
- Zerbe, R., and Wild, A. (1980).** The effect of indole-3-acetic-acid on the photosynthetic apparatus of *Sinapis alba*. The Plant Journal. 1:71-8.